

## IV-32 砂利アスコンのマーシャル試験について

○徳大工業短大 正員 森吉 満助  
 徳大工学部 正員 泉 英世  
 鹿島建設 正員 藤岡 陽

ある密粒度式砂利アスコンについて、マーシャル試験機で、種々の blow 数（即ち 10, 30, 50, 75, (片面につき) の実験を行い、その結果より種々の関係図を得た。之等の図の性質を利用して、僅かの実験から諸要素を或る程度グラフで求める方法、を述べる。

### (I) 諸要素の相互關係

(A) blow 数に關係するもの

(1) 空気容積率 (Percent void)

total mix )  $V_a$  - Blows  $N$  図

横辺隆氏の論文の様に、対数方眼紙で、各アスファルト量につき、略、直線であることが認められた。 図-1

(2) アスファルト充填率 (Percent

void filled with

asphalt )  $V_f$  - Blows

$N$  図

(1) と全く同様で

ある。 図-2

(3) 安定度 - 空気容積率  $V_a$  図

普通方眼紙で、各アスファルト量について、略、直線であることが認められた。 図-3

(4) Flow F - 空気容積率  $V_a$  図

対数方眼紙で、大略直線になることが認められた。 図-4

(5) 空気容積率  $V_a$  - アスファルト充填率  $V_f$  図

対数方眼紙で直線になつたが、之は (1)(2) の關係より、当然である。 図-5

図-1  $V_a$ - $N$

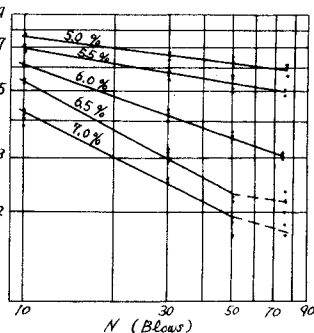


図-2  $V_f$ - $N$

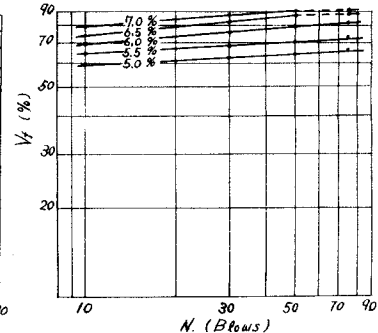


図-3 Stability-Void

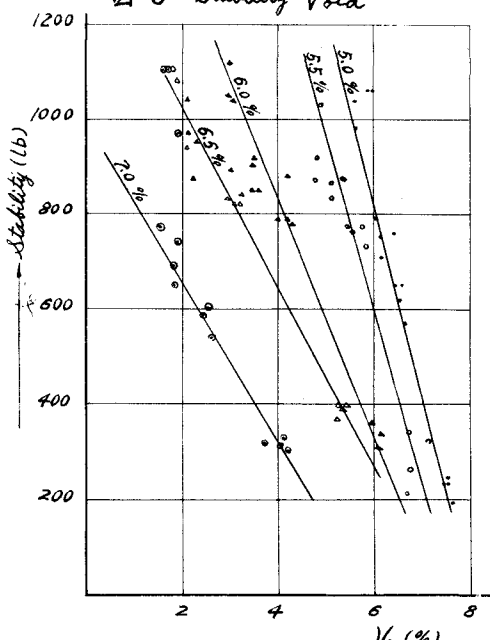


図-4 Flow-Void

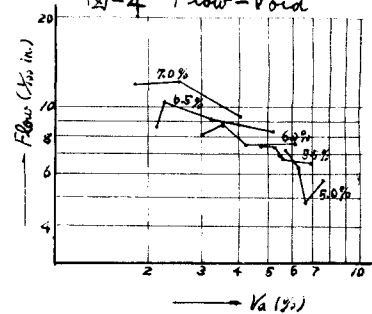
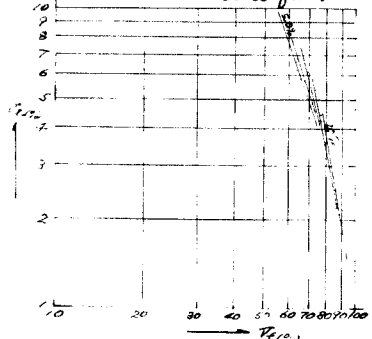


図-5 Void-Void filled



### (B) 一定の Blow 数について、関係あるもの

#### (1) 空気容積率 $V_a$ -Flow F 図

対数方眼紙で直線であることが認められた。図一6

#### (2) 空気容積率 $V_a$ -アスファルト充填率 $V_f$ 図

片対数方眼紙で、直線になったことが認められた。重要な関係図である。図一7

#### (3) 安定度-骨材単位重量 (

Unit weight aggregate only) 図

普通方眼紙で、確実に直線とは云えない。

### (II) 関係各図の利用法

#### (A) Blow 数及びアスファルト量を変えた時

今二種の Blow 数  $N_1, N_2$ 、二種のアスファルト量（兩端に近い所）、で計四種類の資料を作り、マーシャル試験を行う。そして資料の測定及び算定をしたとすると、(I)(A)より二種のアスファルト量につき、二本の直線が次の各図で引かれる。即ち、 $V_a-N$ 、 $V_f-N$ 、 $Stability-V_a$ 、 $F-V_a$ 、 $V_a-V_f$  図中にあるのである。

次に、(I)(B) から  $N_1, N_2$  の各々に対して、夫々  $V_a-F$ 、 $V_a-V_f$ 、の各図が描かれる。すると、アスファルト量と、 $V_a$ 、 $V_f$ 、骨材及び正青の比重、等の間には関係式が成立し、この関係を、 $V_a-V_f$  の関係式に代入して、正青量と  $V_a$  又は  $V_f$  の関係が得られるから、(I)(A) の (1)(2)(3)(4) 図は完成するし、(4)については研究中である。

#### (B) 或る Blow 数の混合物の配合設計

次に、ある Blow 数での配合設計を行うとき、(I)(B) に述べた各図を求めたならば、普通マーシャル試験で求めた所の、Unit weight aggregate only, Unit weight total mix, Percent void aggregate only, Percent void total mix, Flow, Stability, の各図中、Stability を除けば全部得られる。

この場合、兩端での正青量二種について試験を行えば済むが、左お念のため、最適正青量決定後、その正青量について、試験を行えば充分であろう。

以上の(I)(A)(B) に関する、土の締固めへの適用を、検討中であるが、今の所、(I)(B) の  $V_a-V_f$  の関係は、 $V_f$  が 60% 程度以上でないと成立しない様で、種々の土について目下研究中である。

